

立命館大学理工学部 正員 大同淳之

1. はしがき　　急こう配の河道では、河床の粒径分布が広いうえに、普段の掃流力の大きさが、ある代表粒の限界掃流力をわずかに上回る程度で、河床の不規則性が大きく、その不規則性がそのまま流砂現象に影響し、掃流力のわずかな変化が、流砂量に鋭敏に影響する。限界掃流力をごくわずか上回る領域の流砂量を明確にするためには、限界掃流力の正確な評価が必要になる。この限界掃流力は、急こう配におけるもの、および粒径範囲が広く、動かないれをが砂面の一部を占めて他の砂面に影響を及ぼしている場合が問題になる。本文はこれら二つについて実験を行なった結果について述べるものである。

## 2. 急こう配水路における限界掃流力

急こう配水路での限界掃流力は、すでに芦田らによて研究され、移動限界流速 $U_c$ は、次のように表される。

$$U_c^2 = \frac{2g K_3 d^3 \left\{ (S-1) \cos \theta \tan \phi - \frac{S}{S-1} \sin \theta \right\}}{C_0 K_1 + C_L K_2} \quad (1)$$

$$U_c = C U_* \quad (2) \quad \text{とすると},$$

$$\frac{U_{*c}^2}{(S-1) g d (\cos \theta \tan \phi - \sin \theta \cdot \frac{S}{S-1})} = \frac{1}{C_0} \frac{2 K_3}{K_1 + (C_L/C_0) K_2 \tan \phi} \frac{1}{C^2} \quad (3)$$

ここに、 $U_{*c}$ ：限界掃流力、 $d$ ：粒径、 $S$ ：れぞと水の密度比、 $g$ ：重力加速度、  
 $C_0, C_L$  はそれぞれ、抗力および揚力係数である。 $K_1, K_2$  および  $K_3$  は粒子の形  
状係数である。本文での測定は水路幅が 0.1 および 0.3 m の 2 通りの水路に長さ  
1.0 m の移動床を設けて行なった。式(3)の左辺と相対水深  $d/R_b$  ( $R_b$ : アインシュ  
タインの方法による床面に対する深さ) を図 2 に示す。従来の研究との差は、こう  
配が  $1/10$  以上のところで限界掃流力の測定値が小さくなっていることである。式(3)  
は、左右両辺が  $1/\sqrt{f}$  の関数であることから、図 2 の上で、左右の項の交換として表  
される。こう配が急なところで、限界掃流力の無次元表示が小さくなる理由としては、  
限界時における  $Re$  数に大きな違いはないことから、

$C_0, C_L$  の値は、 $d/R_b$  の小さい領域と同じとすると、れぞ  
頂部に作用する流速の流速係数が大きくなることを意味  
する。

砂面上の流速は、底面付近で流速が一様化を示すため  
一般に底面付近と上層との二つの領域に分けて表され、  
境界の高さを  $\delta$  とすると、砂面を頂部の流速  $U_t$  は、

$$\delta < \delta, U_t/U_* = U_s/U_* + (1/K_2) \log(\delta/\delta)$$

$$\delta > \delta, U_t/U_* = U_s/U_* + (1/K_2) \log(\delta/\delta)$$

$$\text{ここに } \frac{U_s}{U_*} = \frac{U_*}{U_{*c}} + \frac{1}{K_1} \ln \frac{h_c}{\delta} - \frac{h_c - \delta}{h_c} \frac{1}{K_1} - \frac{\delta}{h_c} \frac{1}{K_2} \quad (h > \delta)$$

$$\frac{U_s}{U_*} = \frac{U_m}{U_*} + \frac{1}{K_2} \left( \ln \frac{h_c}{\delta} - 1 \right) \quad (h < \delta)$$

として決めることができる。図 1 は砂面で流速分布  
求めたもので、この図より  $\delta, 1/K_2, 1/K_1$  の値を決

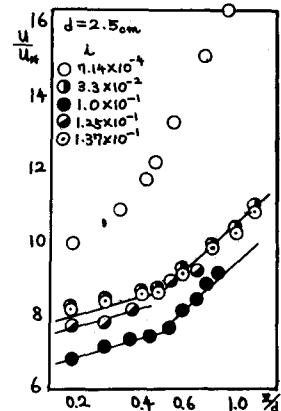
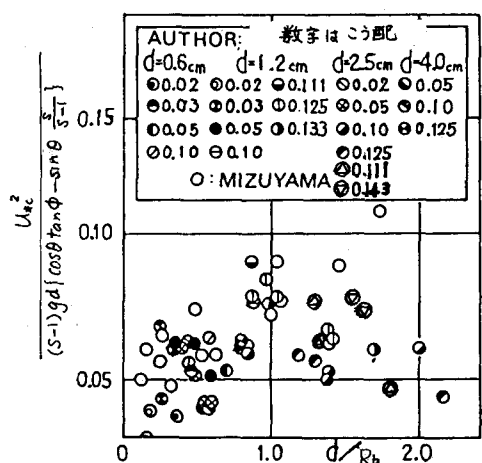
図 1. こう配の増加に伴う  
速度係数の増加例

図 2. 急こう配水路における限界掃流力

めることができる。ただし、 $1/k_s$ の値は、基面のとり方によって変化し、かつ水深がほぼ粒径と同じであるためちからよりも大きく、普遍的な値を決めていないが、こう配が $1/10$ より急になると流速係数が増加し、限界掃流力がパトとなる原因が流速の増加にあることを示している。

### 3. 移動しない軽石が河床に散在する河床のれきの移動限界

混合粒径でも最大径が移動する場合については一応の予測がつくので、ここでは $U_{sc,dmax} > U_s > U_{sc,dmin}$ 、すなわち全く移動しない軽石が散在し、流れがしゃへいされている河床の移動限界について、二次元的模型および自然の状態に近い模型で検討した。

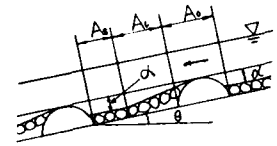


図3 二次元模型によるしゃへい効果の測定

#### i) 二次元的模型による考察

しゃへい効果を単純化するため、移動しない石として半径 $1.75\text{ cm}$ の半円柱を $10\text{ cm}$ および $7.5\text{ cm}$ 間隔に並べ、この半円柱の間に砂れきを敷きつめ、この砂れき面上に、一樣砂れきを面ごとの限界掃流力 $C_d$ 以上のせん断力を与えて、半円柱間の砂が洗堀されて、砂が動かなくな、たとその砂面の低下量 $\Delta h$ を測定した。図4に低下量 $\Delta h$ とせん断力比 $\tau_s/\tau_c$ の関係を示す。しゃへい係数を平均的な見方で表わすと、それぞれのくぼみ深さに対して $\tau_s/\tau_c$ の値そのものがしゃへい係数になる。

つぎにしゃへい効果の内容について考察する。砂が動かなくな、たとその水路床全面に作用する平均せん断力 $\tau_c$ は次のように配分される。

$$\tau_c A = C_d \frac{\rho}{2} U^2 A d + \tau_r (A_0 + A_s) + \tau_s (A - A_0 - A_s) \quad (4)$$

ここに、 $\tau_c$ : 平均せん断力、 $A_d$ : 移動しない砂れきによる抗力、 $C_d$ : 抗力係数、 $\tau_r$ : 突起物の後流の渦表面のまさつ、 $\tau_s$ : 露出砂面上のまさつ抗力、 $A$ : 単位面積、 $A_0$ : 突起物の面積、 $A_s$ : 後流の面積である。実験のやり方から、露出砂面上のせん断力 $\tau_s$ では、限界掃流力より少し小さいと考えられ、 $\tau_s = K \tau_c$ 、 $K < 1.0$  がくことができる。では渦表面のまさつ、この値は正確には分らないが、これを乱流境界層のまさつ抗力で代用できると考えると、 $\tau_r = (\rho/2) C_* U^2$  とし、 $C_* = 0.455 / (\log R_e)^{0.58}$  で表わされるとする。式(4)より後流の面積 $A_s$ は

$$\frac{A_s}{A} = \frac{\tau_c - (1/2) \rho C_d U^2 (A_d/A) - \tau_r (A_0/A) - \tau_s (1 - A_0/A)}{\tau_c - \tau_s}$$

と表現できる。この後流の領域では砂面上の流れは逆流しており、砂れきはしゃへいされているとみなせる。 $C_d = 1.0$ 、 $K = 0.5$ を用いて計算した $A_s/A$ の値は図4に示すとおりで、粒径が同じときは、こう配に無関係に $\Delta h$ が与えられると、それに対応して $A_s/A$ の値が決まる結果を示した。図4は $L = 10\text{ cm}$ に対するもので、実質の空間 $6.5\text{ cm}$ に対して $1.6\text{ cm}$ 低下すると全面的にしゃへいされていることを示す。

#### ii) 半球を配置した模型による考察

固定した半球のまわりに移動可能な砂れきをあそび、i)と同じ実験を行、たとその結果を図5に示す。河床は一様に低下し、二次元と本質的な違いは示していない。

- 1) 芦田5: 急勾配流れの抵抗と限界掃流力に関する研究、京大防災研究所年報 16号B、昭48
- 2) 水山: 山地河川の掃流研に関する研究 学位論文 1977

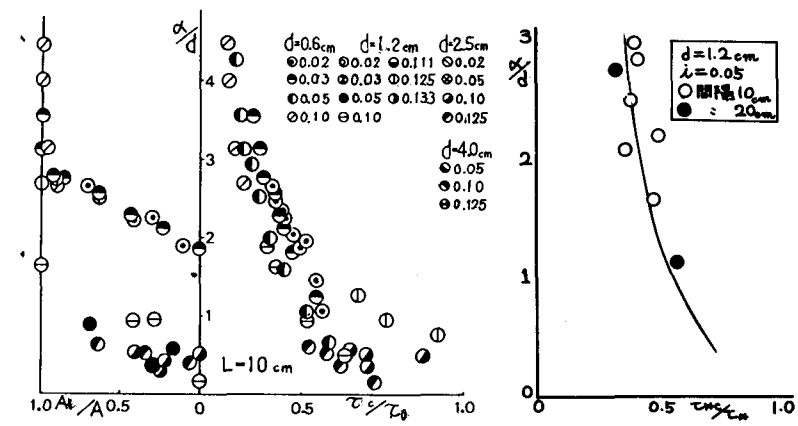


図4 半円柱間の洗堀深さとしゃへい係数およびしゃへい面積比

図5 半球間の洗堀深さとしゃへい係数